

Starkniederschlagshöhen und -spenden gemäß KOSTRA-DWD-2020

Rasterfeld 156149

(Zeile 156, Spalte 149)

Regenspende und Bemessungsniederschlagswerte in Abhängigkeit von Wiederkehrzeit T und Dauerstufe D

| Dauerstufe D | | Wiederkehrzeit T | | | | | | | | | | | | | | | | | |
|--------------|-----|------------------|------------|------|------------|------|------------|------|------------|------|------------|-------|------------|-------|------------|-------|------------|-------|------------|
| | | 1 a | | 2 a | | 3 a | | 5 a | | 10 a | | 20 a | | 30 a | | 50 a | | 100 a | |
| min | Std | mm | l / (s ha) | mm | l / (s ha) | mm | l / (s ha) | mm | l / (s ha) | mm | l / (s ha) | mm | l / (s ha) | mm | l / (s ha) | mm | l / (s ha) | mm | l / (s ha) |
| 5 | | 7,1 | 236,7 | 8,8 | 293,3 | 9,9 | 330,0 | 11,3 | 376,7 | 13,3 | 443,3 | 15,4 | 513,3 | 16,7 | 556,7 | 18,5 | 616,7 | 21,1 | 703,3 |
| 10 | | 9,2 | 153,3 | 11,4 | 190,0 | 12,8 | 213,3 | 14,6 | 243,3 | 17,2 | 286,7 | 19,9 | 331,7 | 21,6 | 360,0 | 23,9 | 398,3 | 27,2 | 453,3 |
| 15 | | 10,4 | 115,6 | 13,0 | 144,4 | 14,5 | 161,1 | 16,6 | 184,4 | 19,5 | 216,7 | 22,6 | 251,1 | 24,6 | 273,3 | 27,2 | 302,2 | 31,0 | 344,4 |
| 20 | | 11,3 | 94,2 | 14,1 | 117,5 | 15,8 | 131,7 | 18,0 | 150,0 | 21,2 | 176,7 | 24,6 | 205,0 | 26,7 | 222,5 | 29,6 | 246,7 | 33,7 | 280,8 |
| 30 | | 12,7 | 70,6 | 15,7 | 87,2 | 17,6 | 97,8 | 20,1 | 111,7 | 23,7 | 131,7 | 27,4 | 152,2 | 29,9 | 166,1 | 33,0 | 183,3 | 37,6 | 208,9 |
| 45 | | 14,1 | 52,2 | 17,5 | 64,8 | 19,6 | 72,6 | 22,4 | 83,0 | 26,4 | 97,8 | 30,5 | 113,0 | 33,2 | 123,0 | 36,7 | 135,9 | 41,8 | 154,8 |
| 60 | 1 | 15,1 | 41,9 | 18,8 | 52,2 | 21,0 | 58,3 | 24,0 | 66,7 | 28,3 | 78,6 | 32,7 | 90,8 | 35,6 | 98,9 | 39,4 | 109,4 | 44,9 | 124,7 |
| 90 | 1,5 | 16,7 | 30,9 | 20,7 | 38,3 | 23,2 | 43,0 | 26,5 | 49,1 | 31,2 | 57,8 | 36,1 | 66,9 | 39,3 | 72,8 | 43,5 | 80,6 | 49,5 | 91,7 |
| 120 | 2 | 17,9 | 24,9 | 22,2 | 30,8 | 24,9 | 34,6 | 28,4 | 39,4 | 33,4 | 46,4 | 38,7 | 53,8 | 42,1 | 58,5 | 46,6 | 64,7 | 53,0 | 73,6 |
| 180 | 3 | 19,6 | 18,1 | 24,4 | 22,6 | 27,3 | 25,3 | 31,2 | 28,9 | 36,8 | 34,1 | 42,5 | 39,4 | 46,3 | 42,9 | 51,2 | 47,4 | 58,2 | 53,9 |
| 240 | 4 | 21,0 | 14,6 | 26,1 | 18,1 | 29,2 | 20,3 | 33,3 | 23,1 | 39,3 | 27,3 | 45,4 | 31,5 | 49,4 | 34,3 | 54,7 | 38,0 | 62,2 | 43,2 |
| 360 | 6 | 23,0 | 10,6 | 28,6 | 13,2 | 32,1 | 14,9 | 36,6 | 16,9 | 43,1 | 20,0 | 49,9 | 23,1 | 54,3 | 25,1 | 60,0 | 27,8 | 68,3 | 31,6 |
| 540 | 9 | 25,3 | 7,8 | 31,4 | 9,7 | 35,2 | 10,9 | 40,1 | 12,4 | 47,3 | 14,6 | 54,7 | 16,9 | 59,5 | 18,4 | 65,9 | 20,3 | 74,9 | 23,1 |
| 720 | 12 | 27,0 | 6,3 | 33,5 | 7,8 | 37,5 | 8,7 | 42,9 | 9,9 | 50,5 | 11,7 | 58,4 | 13,5 | 63,6 | 14,7 | 70,3 | 16,3 | 80,0 | 18,5 |
| 1080 | 18 | 29,6 | 4,6 | 36,7 | 5,7 | 41,2 | 6,4 | 47,0 | 7,3 | 55,4 | 8,5 | 64,0 | 9,9 | 69,7 | 10,8 | 77,1 | 11,9 | 87,7 | 13,5 |
| 1440 | 24 | 31,6 | 3,7 | 39,2 | 4,5 | 43,9 | 5,1 | 50,1 | 5,8 | 59,1 | 6,8 | 68,3 | 7,9 | 74,4 | 8,6 | 82,3 | 9,5 | 93,6 | 10,8 |
| 2880 | 48 | 36,9 | 2,1 | 45,9 | 2,7 | 51,4 | 3,0 | 58,7 | 3,4 | 69,1 | 4,0 | 79,9 | 4,6 | 87,0 | 5,0 | 96,2 | 5,6 | 109,5 | 6,3 |
| 4320 | 72 | 40,5 | 1,6 | 50,3 | 1,9 | 56,3 | 2,2 | 64,3 | 2,5 | 75,7 | 2,9 | 87,6 | 3,4 | 95,3 | 3,7 | 105,5 | 4,1 | 120,0 | 4,6 |
| 5760 | 96 | 43,2 | 1,3 | 53,6 | 1,6 | 60,1 | 1,7 | 68,6 | 2,0 | 80,8 | 2,3 | 93,4 | 2,7 | 101,7 | 2,9 | 112,5 | 3,3 | 128,1 | 3,7 |
| 7200 | 120 | 45,4 | 1,1 | 56,4 | 1,3 | 63,2 | 1,5 | 72,1 | 1,7 | 85,0 | 2,0 | 98,3 | 2,3 | 107,0 | 2,5 | 118,3 | 2,7 | 134,7 | 3,1 |
| 8640 | 144 | 47,3 | 0,9 | 58,8 | 1,1 | 65,8 | 1,3 | 75,2 | 1,5 | 88,6 | 1,7 | 102,4 | 2,0 | 111,5 | 2,2 | 123,3 | 2,4 | 140,3 | 2,7 |
| 10080 | 168 | 49,0 | 0,8 | 60,8 | 1,0 | 68,2 | 1,1 | 77,8 | 1,3 | 91,7 | 1,5 | 106,0 | 1,8 | 115,4 | 1,9 | 127,7 | 2,1 | 145,3 | 2,4 |

Starkniederschlagshöhen und -spenden gemäß KOSTRA-DWD-2020

Rasterfeld 156149

(Zeile 156, Spalte 149)

Örtliche Unsicherheiten in Abhängigkeit von Wiederkehrzeit T und Dauerstufe D

| Dauerstufe D | | Wiederkehrzeit T | | | | | | | | |
|--------------|-----|------------------|-----|-----|-----|------|------|------|------|-------|
| | | 1 a | 2 a | 3 a | 5 a | 10 a | 20 a | 30 a | 50 a | 100 a |
| min | Std | ± % | ± % | ± % | ± % | ± % | ± % | ± % | ± % | ± % |
| 5 | | 11 | 11 | 12 | 12 | 13 | 13 | 14 | 14 | 14 |
| 10 | | 12 | 14 | 15 | 16 | 17 | 18 | 18 | 19 | 19 |
| 15 | | 14 | 16 | 17 | 18 | 19 | 20 | 21 | 21 | 22 |
| 20 | | 15 | 18 | 19 | 20 | 21 | 22 | 22 | 23 | 23 |
| 30 | | 17 | 19 | 20 | 21 | 22 | 23 | 24 | 24 | 25 |
| 45 | | 17 | 20 | 21 | 22 | 23 | 24 | 25 | 25 | 26 |
| 60 | 1 | 17 | 20 | 21 | 22 | 23 | 24 | 25 | 25 | 26 |
| 90 | 1,5 | 17 | 19 | 20 | 22 | 23 | 24 | 24 | 25 | 25 |
| 120 | 2 | 17 | 19 | 20 | 21 | 22 | 23 | 24 | 24 | 25 |
| 180 | 3 | 16 | 18 | 19 | 20 | 21 | 22 | 23 | 23 | 24 |
| 240 | 4 | 15 | 17 | 18 | 19 | 21 | 22 | 22 | 23 | 23 |
| 360 | 6 | 14 | 16 | 17 | 18 | 19 | 20 | 21 | 21 | 22 |
| 540 | 9 | 13 | 15 | 16 | 17 | 18 | 19 | 20 | 20 | 21 |
| 720 | 12 | 13 | 15 | 16 | 16 | 18 | 19 | 19 | 20 | 20 |
| 1080 | 18 | 12 | 14 | 15 | 16 | 17 | 18 | 18 | 18 | 19 |
| 1440 | 24 | 12 | 13 | 14 | 15 | 16 | 17 | 17 | 18 | 18 |
| 2880 | 48 | 12 | 13 | 14 | 14 | 15 | 16 | 16 | 17 | 17 |
| 4320 | 72 | 13 | 13 | 14 | 14 | 15 | 16 | 16 | 16 | 17 |
| 5760 | 96 | 14 | 14 | 14 | 14 | 15 | 15 | 16 | 16 | 16 |
| 7200 | 120 | 14 | 14 | 14 | 15 | 15 | 15 | 16 | 16 | 16 |
| 8640 | 144 | 15 | 14 | 15 | 15 | 15 | 16 | 16 | 16 | 16 |
| 10080 | 168 | 15 | 15 | 15 | 15 | 15 | 16 | 16 | 16 | 17 |

Parameter für abweichende T und D

Lokationsparameter ξ (Xi)

15,44494574

Skalenparameter α (Alpha)

5,19290686

Formparameter κ (Kappa)

-0,1

1. Koutsoyiannis-Parameter θ (Theta)

0,02674617

2. Koutsoyiannis-Parameter η (Eta)

0,77457458

Parameter für dauerstufenübergreifende Extremwertschätzung nach KOUTSOYIANNIS et al. 1998.

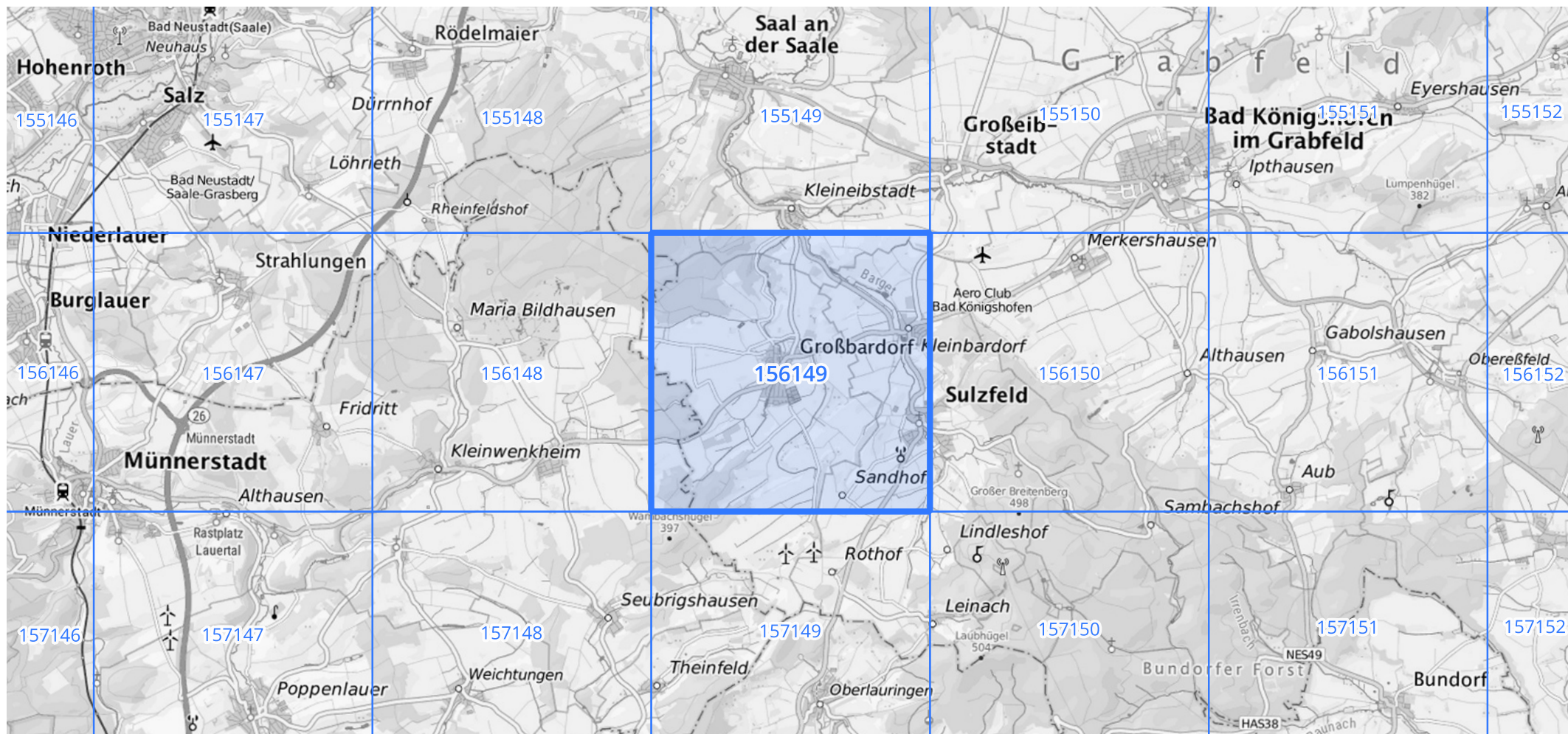
Siehe auch Anwendungshilfe zu KOSTRA-DWD-2020 des Deutschen Wetterdienstes.

Starkniederschlagshöhen und -spenden gemäß KOSTRA-DWD-2020

Rasterfeld 156149

(Zeile 156, Spalte 149)

Übersichtskarte des Rasterfeldes 156149, M 1 : 100 000



Quelle Rasterdaten: KOSTRA-DWD-2020 des Deutschen Wetterdienstes, Stand 12/2022.

Seite 3 von 3

Kartendarstellung: © Bundesamt für Kartographie und Geodäsie (2023), Datenquellen: https://sgx.geodatenzentrum.de/web_public/gdz/datenquellen/Datenquellen_TopPlusOpen.html

Für die Richtigkeit und Aktualität der Angaben wird keine Gewähr übernommen. Erstellt 01/2023.